

Wollastonite에 關한 研究(Ⅱ)

— Mosaic Tile 素地에 對한 添加効能 —

李 喜 淳 · 鄭 國 三*

延世大學校 工科大學 烘業工學科, *化學工學科
(1974年 6年 3日 接受)

A Study on the Wollastonite(Ⅱ)

— Effect of Wollastonite Additions in Mosaic Tile Body —

Hee-Soo Lee and Kuk-Sam Chung~

Department of Ceramic Engineering ~ Department of Chemical Engineering,
College of Science and Technology, Yonsei University

ABSTRACT

A study was performed to investigate the effect of wollastonite additions with distinguishing form β and α for wollastonite in a mosaic tile body.

In this study, the efficiencies by the amounts of additive, maturing conditions and moulding pressure, etc., have been studied mainly with a measurement of thermal analysis, and physical properties; absorption shore's hardness, linear shringkage, apparent feature and so on.

As a result of study, tile body which was contained the wollastonite was reducing the maturing temperature, reducing the absorption ratio, increasing the hardness in proportion to the amounts of wollastonite above the range of $1150^{\circ}\sim 1175^{\circ}\text{C}$

On the basis of this experiment, the optimum conditions for production species were obtained when wollastonite was added in the range 6%, maturing conditions was operated in the range of $1150^{\circ}\sim 1175^{\circ}\text{C}$, for 3~4 hrs.

I. 序 論

Wollastonite를 烘業原料로 添加, 活用하면 反應性이 俊秀하여 製造工程上 素地自體의 燒結性 및 釉藥과의 熔着反應이 顯著하게 促進되어 燒成時間도 매우 短縮되어 陶磁器 短燒成用 原料로서 必須不可缺하다고 認め져 있다.^{1,2)} 이 以外에 乾燥 및 燒成收縮率이 極減되어 製品에 對하여는 破壞強度를 크게 하고^{3,4)} 電氣絕緣性을 좋게 한다는^{5,6)} 等 多様하게 그 効能이 認定되고 있어 매우 期待되는 新烘業原料라고 想料된다.

우리나라에서는 天然 wollastonite가 大部分 石灰石 表層에 附着으로서 產出되기 때문에 그 埋藏量 推定이 어려운 實情이다. 또한 不純物로서 石灰石 以外에 柏櫟石, 透輝石 等이 混在하고 있다고 알리지 있기는 하나 그의 多樣的인 効能을勘察하여 볼때 이의 活用에 關한 研究開發이 時急히 要望되는 바이다.

本研究遂行을 為해서 著者は 이미 wollastonite 合成에 對한 研究結果를 報告하였으며⁸⁾ 本研究는 그 應用의 하나로서 mosaic tile 素地에 對한 添加効能을 究明하여 國內 天然 wollastonite의 活用價值를 評價함과

아울러 烹業原料를 產業界에 널리 普及시켜 보고자 하는데 目的이 있다.

本實驗에서는 같은 素地에 β form 및 α form의 合成 wollastonite를 各己一定量씩 添加, 變化시켰으나 또한 烧成溫度, 熟成時間 및 成形壓力을 變化시켜 이에 따른 吸收率, Shore's 硬度, 線收縮率, 칠보기 상비 等을 測定하므로서 產業界에서의 活用과 直結시킬 수 있도록 하였다.

II. 實驗

Table 1 Chemical Composition of Raw Materials for the Mosaic Tile Body

| Material | Composition | SiO ₂ | Al ₂ O ₃ | Fe ₂ O ₃ | CaO | MgO | K ₂ O + Na ₂ O | K ₂ CO ₃ | Li ₂ CO ₃ |
|-----------------------------------|-------------|------------------|--------------------------------|--------------------------------|------|------|--------------------------------------|--------------------------------|---------------------------------|
| Mosaic Tile Body | | % | % | % | % | % | % | % | % |
| β -Wollastonite | 71.65 | 22.10 | 0.30 | 1.06 | 0.44 | 4.45 | — | — | 3.97 |
| α -Wollastonite | 49.44 | — | — | 46.59 | — | — | — | 3.97 | — |
| Natural Wollastonite ^a | 46.05 | 2.79 | 1.20 | 42.16 | 1.32 | — | — | — | — |

^aChoong Cheong Puk Do, Dan Yang (mean value)

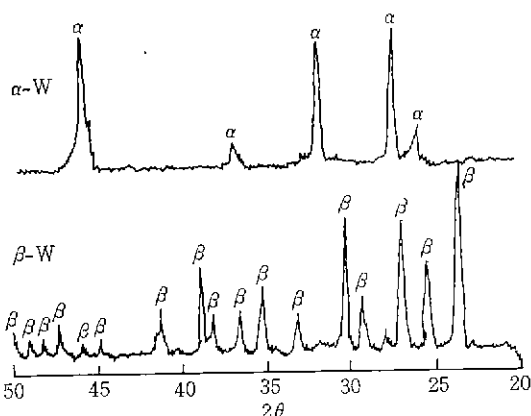


Fig. 1 X-ray Diffraction pattern for Synthesis Wollastonite (β -W & α -W)

2. 試片製作

β -W, α -W mosaic tile 素地土에 所定量 添加하고 여기에 一定量의 蒸溜水를 加하여 比重이 約 1.8 (open-top viscometer의 orifice를 通해 200ml의 slip을 흘리내리는데 要하는 時間이 35~40sec)되는 slip狀¹⁰⁾으로 하고 濕式으로 均質, 混化시킨 다음 約 5%의 含濕物이 떨 때까지 半乾시킨다. 이것을 所定 成形壓으로서 지름 25mm, 두께 5 mm. 的 disc 狀으로 成形하고 涼置이 떨 때까지 105°~110°C에서 乾燥시킨 後 siliconit 電氣가마에 裝入, 烧成하였다. 이례의 昇溫速

1. 素地物質

青松陶石, 東豆川長石, 廣川白土, 河東 kaolin 以及 平粘土를 原料로 한 mosaic tile 素地土를 母體出發物質로 하였다. 添加物로는 第一報⁹⁾에서 選定한 合成低溫型(β 型)과 高溫型(α 型)의 wollastonite (以下 β -W, α -W로 略記함)를 採하여 이의 170 mesh 通過粉末를 使用하였다. 使用原料들의 化學組成은 Table 1과 같다.

또한 選定한 合成 wollastonite의 X-線 回折分拆結果는 Table 1과 같다.

度는 150°~200°C/hr.로서 所定의 烧成條件으로 烧成한 後 250°~300°C/hr의 速度로 常溫까지 冷却하여 試片으로 하였다.

3. 實驗方法

β -W, α -W를 添加한 各 試片의 配合組成은 Table 2와 같다. 同 試片에 對하여 Table 3와 같이 烧成溫度, 熟成時間 및 成形壓力을 系列別로 變化시켰으며 各 實驗値는 恒時 單味의 mosaics tile 素地의 物性과 比較, 檢討하였다.

Table 2. Batch Compositions of Each Species

| Material | Mosaic Tile | Content (Wt. %) | | | | |
|-----------------|------------------------|-----------------|----|----|----|----|
| | | 100 | 97 | 94 | 91 | 88 |
| Additive (Each) | β -Wollastonite | 0 | 3 | 6 | 9 | 12 |
| | α -Wollastonite | — | — | — | — | 15 |

4. 試驗

Tile 素地의 反應性을 寶明하기 為하여 吸收率, Shore's 硬度, 線收縮率 및 칠보기 상비의 龟裂試驗을 行하였다.¹⁰⁾

III. 結果 및 考察

各 試片에 對한 吸收率 測定 結果를 Fig. 2~Fig. 6에 圖示하였으며 各 測定値가 密集되어 있기 때문에 이를 區分하기 為하여 測定値를 Table 4에 나타내었다.

Table 3. Additive Content, Firing Condition & Moulding Pressure

(a) Firing Temp. vs. Various Additive Content

| Additive | Content (wt %) | Firing Temp. (°C) | Soaking Time (hr.) | Moulding Pressure (kg/cm²) |
|-------------|----------------|-------------------|--------------------|----------------------------|
| β -W | {0, 3, 6 | {1000, 1050, 1100 | | |
| α -W | {9, 12, 15 | {1150, 1200, 1250 | 2 | 300 |

(b) Soaking Time vs. Various Additive Content

| Additive | Additive Content (wt%) | Firing Temp (°C) | Soaking Time (hr.) | Moulding Pressure (kg/cm²) |
|-------------|------------------------|------------------|--------------------|----------------------------|
| β -W | 0, 3, 6 9, 12, 15 | 1150° | 1, 2, 4, 7, 11 | 300 |
| α -W | " | 1175 | 1, 2, 4, 7 | 300 |

(c) Moulding Pressure vs. Selected Additive Content & Firing Condition

| Additive | Additive Content (wt %) | Firing Temp. (°C) | Soaking Time (hr.) | Moulding Pressure (kg/cm²) |
|-------------|-------------------------|-------------------|--------------------|--------------------------------|
| β -W | 6 | 1150 | 2 | 0, 300, 600 900, 1200, 1500 |
| α -W | 6 | 1175 | 2 | " |

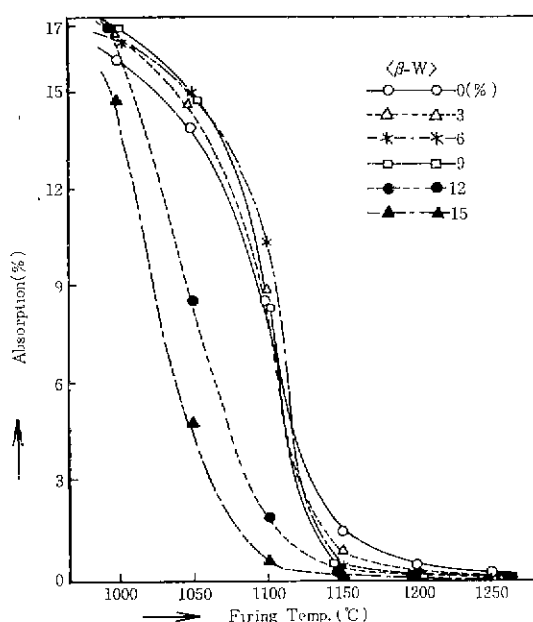
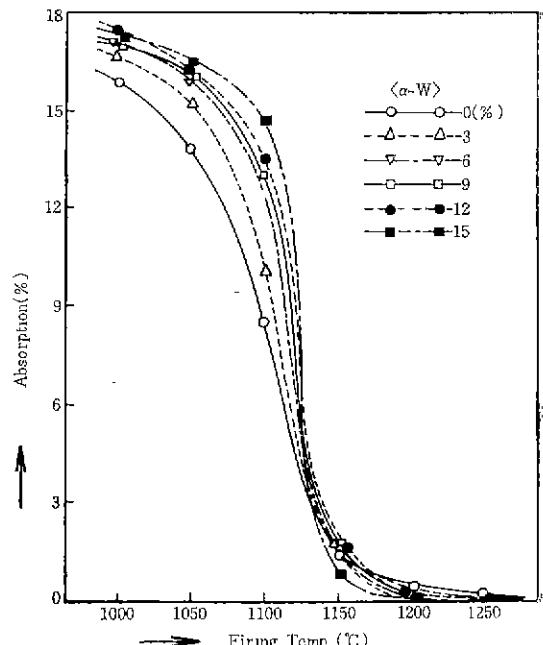
Fig. 2 Absorption vs. Firing Temp. & β -W Content

Fig. 2에서 1000°~110°C 까지는 각각 一定한 烧成 温度에서 β -W의 添加量이 增加함에 따라 6~9%範圍에서는多少吸收率이增加하다가 그以上的含量으로 되면서 急格한 減少現象을 보이고 있으며 特히 12%以上에서는 더욱 増하다.

한편 1150°C 以上에서는 添加量 增加에 따라 全體적으로 急格한 減少現象을 보이고 있다. 全體적으로 볼 때 添加量의 增加 및 烧成 温度의 上昇에 따라 吸收率이 比例的으로 減少하고 있으며 特히 1100°~1150°C範圍에서 添加量 增加에 따른 吸收率 減少率이 매우

Fig. 3 Absorption vs. Firing Temp. & α -W Content

甚하여 그以上の温度에서는 0.1% 이하로 거의無視할程度의 吸收率을 나타내고 있다. 이 測定範圍는 β -W의 轉移溫度($1120^{\circ}\sim 1150^{\circ}\text{C}$)⁵⁾¹²⁾에該當하며 同 測定範圍以上으로 되면 添加量增加에 따른 結晶能이 우 좋았기 始作하기 때문이다라고推想된다.

한편 α -W의 添加는 Fig. 3와 같이 β -W의 添加效果와 비슷하나 1150°C 까지는 α -W보다는 흡수率을 나타내다가 그以上の温度로 되면 反對로 보다 적은 값을 나타내고 있다. 이는 α -W이 高溫型이기 때문에 低溫에서 보다 高溫燒成에 기, 즉 β -W의 轉移溫度以上에서 좋은 結晶能을 나타내기 때문이다라고推想된다. 또한 이 測定範圍에서 β -W와 α -W의 同 添加量에 따른 吸收率의 差異值를 比較하여 보면 Fig. 4와 같다.

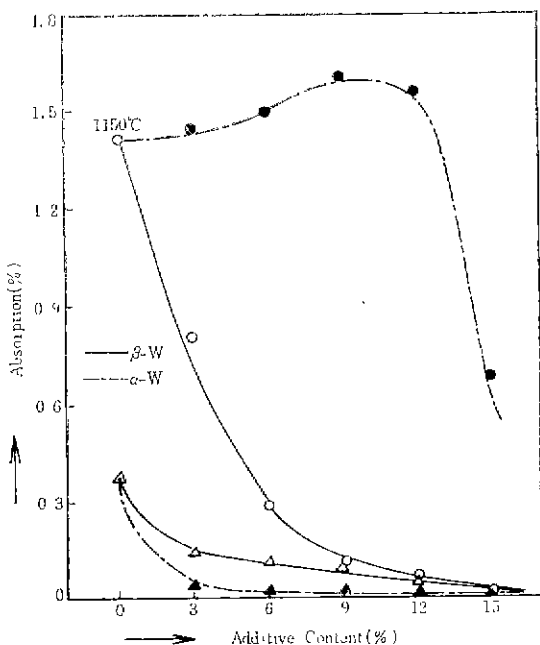


Fig. 4 Absorption vs. Additive Content in β -W & α -W

지금까지의 實驗結果로서 忽略한 減少現象을 보이며, 添加物 없는 單味素地의 烷成溫度인 1250°C 에서 測定된 0.06%의 吸水率에 對應되는 $1150^{\circ}, 1175^{\circ}\text{C}$ 를 各已 β -W, α -W의 添加素地의 烷成溫度로選定. 이를基準으로 하여 添加量 및 烷成時間變化에 따른 吸水率을 測定한結果, 大體적으로 烷成時間 및 添加量增加에 따라 相對的으로 吸水率이減少하고 있음을 Fig. 5 및 Fig. 6에서 보여주고 있다.

또한 Fig. 4에서 알 수 있는 바와 같이 1150°C 에서

β -W가 α -W에 보다 낮은 吸水率을 나타내었으나 1175°C 에서 α -W를 添加시키면 1150°C 에서 β -W를 添加하였을 때 보다 낮은 값을 나타내었다. 이것으로서

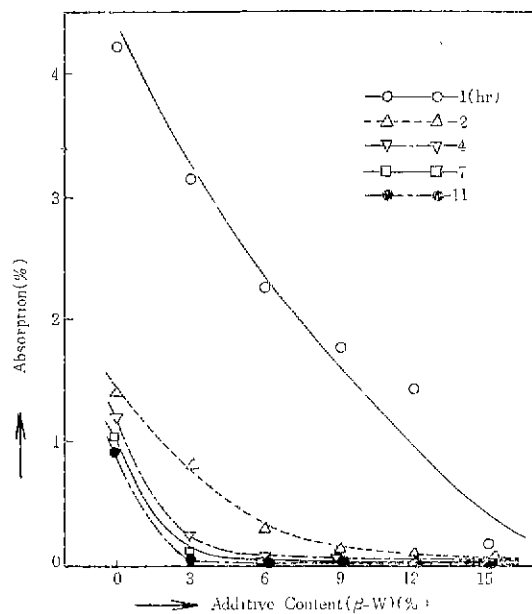


Fig. 5 Absorptions vs. Different Soaking time & β -W Content (1150°C)

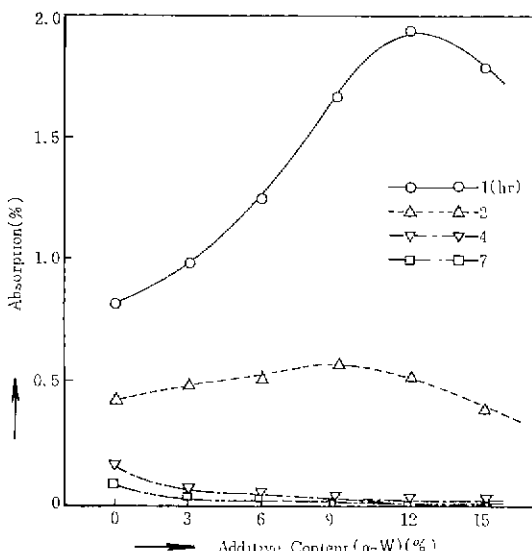


Fig. 6 Absorption vs. Different Soaking Time & α -W Content (1175°C)

α -W가 1150°C 以上에 서는 증은 溫度範圍에서도 韻結能에 的 影響을 미친다는 것을 推定할 수 있다

Table 4 Absorption vs. Firing Temperature and Wollastonite Content

(1) Firing Temperature and β -W Content (Fig. 2)

| Firing Temp. (°C) | β -W Content (%) | 0 | 3 | 6 | 9 | 12 | 15 |
|-------------------|------------------------|-------|-------|-------|-------|-------|----|
| 1000 | 15.91 | 16.72 | 16.62 | 16.82 | 16.92 | 14.68 | |
| 1050 | 13.85 | 14.60 | 14.92 | 14.71 | 8.57 | 4.23 | |
| 1100 | 8.48 | 8.80 | 10.55 | 8.36 | 1.87 | 0.51 | |
| 1150 | 1.41 | 0.81 | 0.29 | 0.11 | 0.08 | 0.02 | |
| 1200 | 0.38 | 0.14 | 0.12 | 0.09 | 0.05 | 0.01 | |
| 1250 | 0.06 | 0.06 | 0.04 | 0.02 | | | |

(2) Firing Temperature and α -W Content (Fig. 3)

| Firing Temp. (°C) | α -W Content (%) | 0 | 3 | 6 | 9 | 12 | 15 |
|-------------------|-------------------------|-------|-------|-------|-------|-------|----|
| 1000 | 15.91 | 16.71 | 17.09 | 17.02 | 17.43 | 17.39 | |
| 1050 | 13.86 | 15.24 | 15.80 | 15.97 | 16.27 | 16.52 | |
| 1100 | 8.48 | 10.07 | 12.39 | 12.98 | 13.53 | 14.72 | |
| 1150 | 1.41 | 1.44 | 1.48 | 1.61 | 1.56 | 0.71 | |
| 1200 | 0.38 | 0.04 | 0.02 | 0.02 | 0.01 | 0.01 | |
| 1250 | 0.06 | — | — | — | — | — | |

(3) Additive Content (β -W and α -W) (Fig. 4)

| Firing Temp. (°C) | Additive Content (%) | | | | | | |
|-------------------|----------------------|------|------|------|------|------|------|
| | | 0 | 3 | 6 | 9 | 12 | 15 |
| 1150 | β -W | 0.81 | 0.29 | 0.11 | 0.08 | 0.02 | |
| | α -W | 1.41 | 1.44 | 1.48 | 1.61 | 1.56 | 0.71 |
| 1200 | β -W | 0.14 | 0.12 | 0.09 | 0.05 | 0.01 | |
| | α -W | 0.38 | 0.04 | 0.02 | 0.02 | 0.01 | |

(4) Soaking Time and α -W content (1150°C) (Fig. 5)

| Soaking Time (h) | β -W Content (%) | 0 | 3 | 6 | 9 | 12 | 15 |
|------------------|------------------------|------|------|------|------|------|----|
| 1 | 4.22 | 3.14 | 2.27 | 1.77 | 1.44 | 0.15 | |
| 2 | 1.41 | 0.81 | 0.29 | 0.11 | 0.08 | 0.02 | |
| 4 | 1.20 | 0.22 | 0.05 | 0.05 | 0.04 | 0.01 | |
| 7 | 1.05 | 0.10 | 0.04 | 0.03 | 0.02 | 0.01 | |
| 11 | 0.92 | 0.05 | 0.03 | 0.03 | 0.02 | 0.01 | |

(5) Soaking Time and α -W Content (1175°C) (Fig. 6)

| Soaking Time (h) | α -W Content (%) | 0 | 3 | 6 | 9 | 12 | 15 |
|------------------|-------------------------|------|------|------|------|------|----|
| 1 | 0.82 | 0.98 | 1.25 | 1.67 | 1.95 | 1.80 | |
| 2 | 0.42 | 0.48 | 0.51 | 0.57 | 0.52 | 0.39 | |
| 4 | 0.15 | 0.06 | 0.04 | 0.03 | 0.02 | 0.01 | |
| 7 | 0.07 | 0.03 | 0.02 | 0.01 | 0.01 | 0.01 | |

따라서 위의 Fig. 5와 Fig. 6의 結果에 따라 單味素地 製造時(1250°C로 脫成)의 吸水率보다 약간 높은 率를 나타내고 있으나 成形壓力를 變化시켜 이의 對應值를 算出할 수 있으리라 生起되어 Table 3의 (C)項과 같이 變化시켰으나 Fig. 7과 같이 同 成形壓力 增加에 随

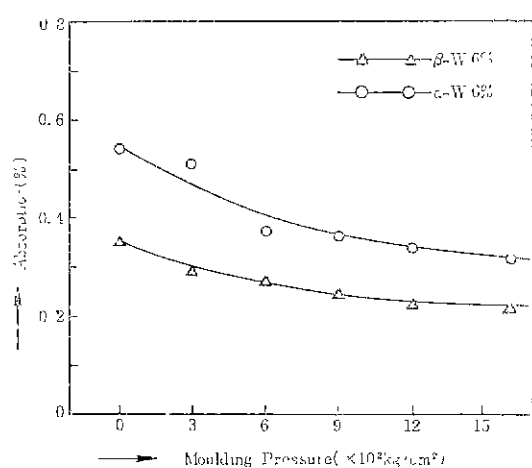


Fig. 7 Absorption vs. Moulding Pressure in β -W & α -W (β -W: 1150°C, α -W: 1175°C)

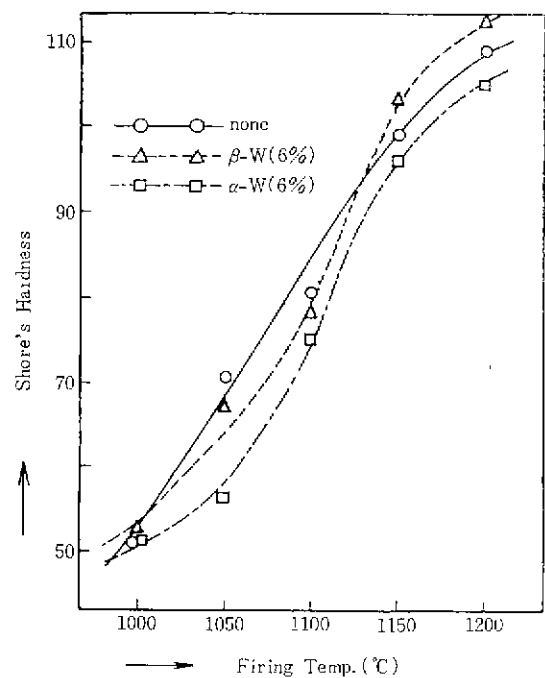


Fig. 8 Shore's Hardness vs. Firing Temp. for Selected Specimens

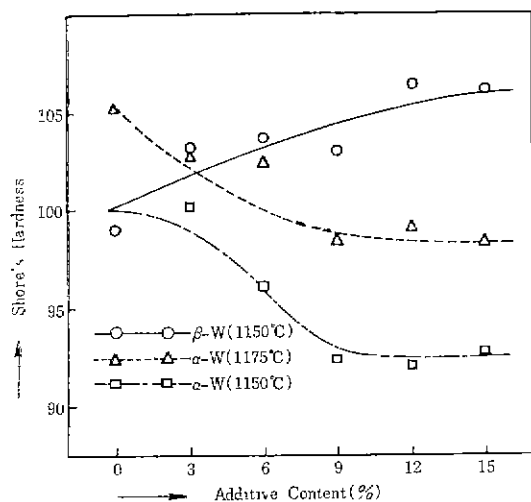


Fig. 9 Shore's Hardness vs. Additive Content for Selected Specimens

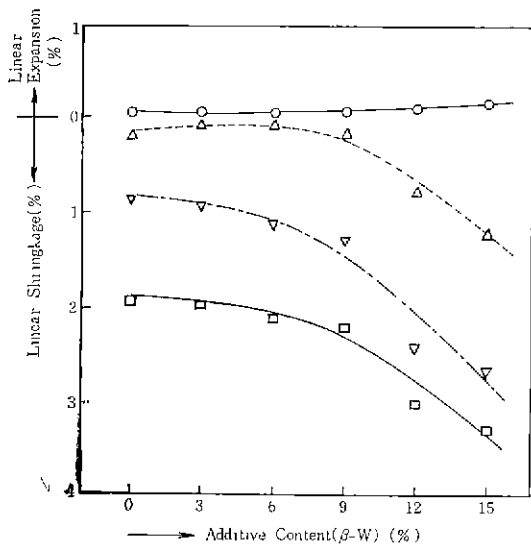


Fig. 10 Linear Shringkage vs. Additive Content ($\beta\text{-W}$) & Firing Temp. (Soaking Time: 2hrs)

라若干의減少現象을 나타내고 있으며 그影響은 微微하다. 이現象으로 보아構成粒子들의密着性은燒結反應의律速段階를 이루지 못함을 알 수 있다.

또한 Shore's硬度測定結果, 1150°C 以上에서一定한比例로增加하고 있으며 $\beta\text{-W}$ 添加素地가若干높은 값을 나타내고 있으며 $\alpha\text{-W}$ 添加는 그量의增加와燒成溫度의增加에 따라減少現象을 나타내고 있다.

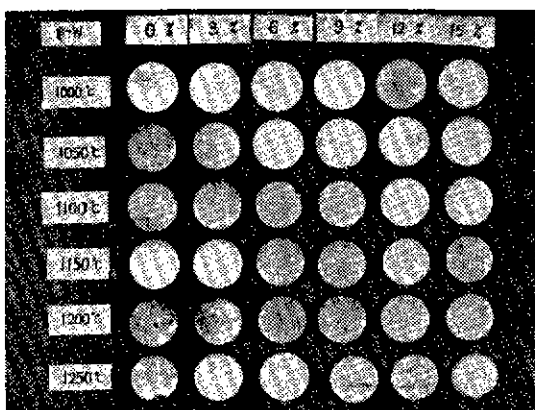


Fig. 11 Appearance vs. Firing Temperature & $\beta\text{-W}$ Content

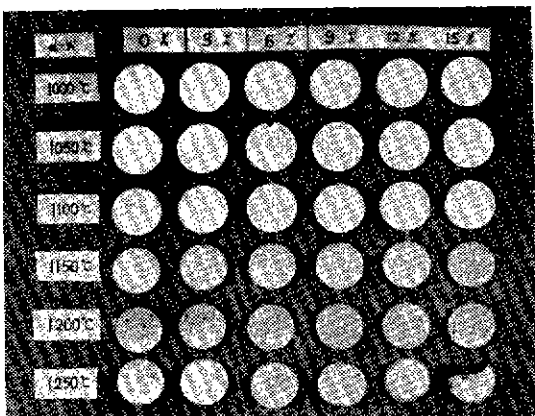


Fig. 12 Appearance vs. Firing Temperature & $\alpha\text{-W}$ Content

이傾向을吸水率現象과對照하여볼때,多少差異가있으나이는燒結素地의氣孔性과微器化等이複合的關聯性을갖기때문에招來되는現象이라と思料되며,이중efficiency的燒成溫度下에서의同測定值를Fig. 8 및 Fig. 9에圖示하였다.

線收縮率에있어, 1000°C 예외의것을除外하고는모두收縮現象을나타내며그程度는燒成溫度및添加量增加에따라Fig. 10과같이比例적으로커지고있으며 1200°C 以上에서는試片모서리가등글게되어測定이困難하였다.

그리고 겉보기狀態는Fig. 11과Fig. 12와같이 1150°C 以上부터微器化現象이나타나기始作하여添加量增加에따라이에따른透光度의增加와아울러試

사의 모서리가 둥글게 됨을 볼 수 있다. 이와 같은現象은 素地의 烧結能 및 烧結速度에 따른 matrix phase增加에 基因한다고 料된다.

따라서 이들 試驗結果에 依해 β -W, α -W 添加素地의 最適 烧成溫度를 各己 1150°C , 1175°C 로 定하였을 때 純粹 單味素地의 烧結性과 類似한 條件을 Table 5와 같이 綜合的으로 整理할 수 있었다.

Table 5. Optimum Conditions for Production Species (β -W: 1150°C , α -W: 1175°C)

| Additive | Firing Temp ($^{\circ}\text{C}$) | Additive Content (wt. %) | Soaking Time (hr.) |
|-------------|------------------------------------|--------------------------|--------------------|
| β -W | 1150° | 0 | 2.0 |
| | | 3 | 8.5~9.0 |
| | | 6 | 4.0 |
| | | 9 | 3.5 |
| | | 12 | 2.0~2.5 |
| | | 15 | 1.5 |
| | | 3 | 4.0 |
| | | 6 | 3.0 |
| α -W | 1175° | 9 | 2.5~3.0 |
| | | 12 | 2.5~3.0 |
| | | 15 | 2.0~2.5 |
| | | | |

N. 結論

Mosaic tile 素地에 對한 wollastonite의 添加効能에 關한 本研究實驗範圍內에서 다음과 같은 點을 結論치울 수 있다.

1) 烧成溫度가 높아짐에 따라 烧結能이 向上되며 特히 β -W 添加素地는 1150°C , α -W의 案은 1175°C 以上일때 보다 큰 烧結能을 나타낸다.

2) 所定 基準溫度에서 β -W 및 α -W를 各己 6% 以上 添加하였을때 보다 좋은 反應性을 보여주고 있다.

3) 烧成時間이 길수록 烧結能이 좋아지며 最低 有効限界值는 α -W, β -W 共히 2時間이다.

4) 素地의 反應性이 比較的 크기 때문에 成形壓은 雖速의이 되지 듯한다.

5) 最適 製造條件은 다음과 같다.

| | | |
|---------|------------------------|------------------------|
| 添 加 種 | β -W | α -W |
| 添 加 量 | 6% | 6% |
| 成 形 壓 力 | 300kg/cm^2 | 300kg/cm^2 |
| 燒 成 溫 度 | 1150°C | 1170°C |
| 熟成維持時間 | 4 hrs | 3 hrs |

References

- Dakai, Mukigosei Zairyō do Sono Ouyo, "Introduction of Wollastonite", Gakaku Kogiosia Pub., 14 (6) 254~59 (1970).
- S.J. Park and J. Lee, K.J. Park, "A study on the Dielectric Ceramics of Forsterite", *J. Korean Ceram. Soc.*, 5 (1) 82~96 (1968).
- M. Vukovich, "Crystal Structure of Pseudo Wollastonite", *J. Am. Ceram. Soc.*, 39, 323~29 (1956).
- Fumiko Shido and Hiroshi Hagiwara, U.S. 3,520,705, July 14 (1970).
- W.M. Jackson II, "Electric Characteristics of Various Ceramic Materials", *J. Amer. Ceram. Soc. Bull.*, 32 (9) 306~308 (1953).
- Kinji Shimada, "Ultra Low Loss of Dielectric Ceramics", *Kogyo Kagaku Zasshi*, 69 (5) 1029~32 (1966).
- W.E. Ford, "A Textbook of Mineralogy," Fourth Edition, 566~577.
- Hee Soo, Lee and Kuk Sam, Chung, "The Studies on the Synthesis of Wollastonite and its Utilization (I)", *J. Korean Ceram. Soc.*, 10 (1) 32~41 (1973).
- L.S. Williams, *J. Am. Ceram. Soc. Bull.*, "Slip Casting Calcium Oxide," 42 (6) 340~43 (1963).
- Korean Standard List 1001 (1970).
- U. Fahrenberger and D. Harkort, "Addition Effects in the Wollastonite Synthesis", *Keram. Zeit.*, 18 (4) 228~30 (1966).
- Masahiro Setoguchi and Chiaki Sakamoto, "Survey of Wollastonite in Giura", *Yogyo Kyokai Shi*, 75(11) 325~29 (1967).